

## Магнитные свойства монокристалла



С. Н. Барило, В. И. Гатальская, С. В. Ширяев, Л. А. Курочкин

Институт физики твердого тела и полупроводников НАН Беларусь  
ул. П. Бровки, 17, г. Минск, 220072, Беларусь  
E-mail: v\_gatal@iftt.bas-net.by

Р. Шимчак, М. Баран

Institute of Physics, Polish Academy of Sciences, Al. Lotników 32/46, 02-668 Warsaw, Poland  
E-mail: baran@ifpan.edu.pl

Статья поступила в редакцию 8 мая 2002 г.

Исследованы магнитные свойства монокристалла  $\text{LaMn}_{0,46}\text{Co}_{0,54}\text{O}_3$ , выращенного методом электрохимического осаждения, в широком интервале полей и температур. Проанализированы полученные результаты с привлечением модели двухфазного магнитного состояния кристалла.

Досліджено магнітні властивості монокристала  $\text{LaMn}_{0,46}\text{Co}_{0,54}\text{O}_3$ , який вирощено методом електрохімічного осадження, у широкому інтервалі полів та температур. Проаналізовано одержані результати із застосуванням моделі двофазного магнітного стану кристала.

PACS: 75.30.Kz

### Введение

Известно, что идеальный перовскит  $\text{LaMnO}_3$  является антиферромагнитным (АФ) диэлектриком. Для возникновения в этой системе металлического и ферромагнитного (ФМ) состояния необходимо наличие марганца со смешанной валентностью  $\text{Mn}^{3+}/\text{Mn}^{4+}$ . Существуют, по крайней мере, три возможности для этого: 1) замещение лантана двухвалентными металлами; 2) присутствие нестехиометрического кислорода; 3) замещение марганца магнитными и немагнитными ионами. Наблюдаемый в замещенных манганитах эффект колоссального магнитосопротивления (КМС) обычно объясняется моделью двойного обмена в сочетании с механизмом ян-теллеровских (ЯТ)искажений структуры кристалла, однако многие аспекты спинового/зарядового/орбитального упорядочения в манганитах еще не ясны.

Исследование структурных и магнитных свойств  $\text{LaMn}_{1-x}\text{Co}_x\text{O}_3$  для установления источ-

ника ФМ в этой системе посвящены работы [1–7]. Выводы этих работ достаточно противоречивы. Так, ферромагнитные состояния связываются с взаимодействиями: моновалентным  $\text{Mn}^{3+}-\text{O}-\text{Mn}^{3+}$  ( $\text{Co}^{3+}$  находится в низкоспиновом состоянии и не дает вклада в ФМ) [1], положительным суперобменным  $\text{Mn}^{4+}-\text{Co}^{2+}$  [2–4,7] или смешанным суперобменным  $\text{Mn}^{3+}-\text{O}-\text{Mn}^{4+}$ ,  $\text{Mn}^{3+}-\text{O}-\text{Mn}^{3+}$  и  $\text{Mn}^{4+}-\text{O}-\text{Mn}^{2+}$  [5].

В соединении  $\text{LaMn}_{0,5}\text{Co}_{0,5}\text{O}_3$  обнаруживается присутствие двух магнитных фаз с ромбоэдрической (температура перехода  $T_c = 225$  К) и орторомбической ( $T_c = 175$  К) структурами [1,4]. Варьируя условия синтеза, можно получить только низкотемпературную или высокотемпературную фазу [4,8]. Отметим, что все известные нам исследования La–Mn–Co–O системы выполнены на поликристаллических образцах, что в определенной степени затрудняет интерпретацию полученных результатов. В настоящей работе проведено изучение магнитных свойств монокристалла  $\text{LaMn}_{0,46}\text{Co}_{0,54}\text{O}_3$  (LMCO).

## 2. Методика эксперимента

Монокристаллы LMCO с содержанием Co, близким к 0,5, получены методом электрохимического осаждения в платиновом тигле из раствора–расплава бинарной системы  $\text{Cs}_2\text{MoO}_4$ – $\text{MoO}_3$ . Детальное описание методики получения монокристаллов и способа определения катионного состава приведено в работе [9]. Выращенные монокристаллы блестящего черного цвета имели форму, близкую к кубической. Определение фазового состава, параметров решетки и ориентирование монокристаллов проводили рентгенографическим способом.

Намагниченность монокристалла измеряли с помощью СКВИД магнитометра (Quantum Design, MPMS-5) в магнитных полях до 50 кЭ в температурном интервале 4,2–300 К.

## 3. Результаты эксперимента и их обсуждение

Рентгеноструктурные измерения порошков кристаллического материала показали, что монокристаллы LMCO являются однофазными со структурой, близкой к ромбоэдрической [9].

Температурные зависимости восприимчивости монокристалла LMCO, измеренные в поле 50 Э в режимах FC и ZFC, приведены на рис. 1. Переход из парамагнитного (ПМ) в ФМ состояние осуществляется при  $T_c = 170$  К. Восприимчивость  $\chi_{FC} = M/H$  увеличивается при уменьшении температуры и близка к насыщению при низких температурах. Поведение восприимчивости  $\chi_{ZFC}(T)$

резко отличается от  $\chi_{FC}(T)$  — наблюдается так называемая термомагнитная необратимость. Расхождение начинает проявляться при температурах, близких к  $T_c$ , и в отличие от  $\chi_{FC}(T)$  на кривой  $\chi_{ZFC}(T)$  наблюдается острый максимум при  $T_m = 150$  К; ниже  $T_m$  величина  $\chi_{ZFC}$  уменьшается. Значение  $T_m$  зависит от приложенного магнитного поля и сдвигается в область низких температур при увеличении магнитного поля: для  $H = 1$  кЭ температура  $T_m = 120$  К (вставка на рис. 1). Отметим, что даже в поле 50 кЭ наблюдается необратимость между  $\chi_{FC}$  и  $\chi_{ZFC}$  для температур ниже 50 К ( $T_m = 20$  К) (рис. 2). Такое поведение свидетельствует о присутствии магнитных кластеров в кристалле. По температурной зависимости обратной величины восприимчивости  $H/M$ , измеренной в поле 50 кЭ в условиях FC, была оценена ПМ температура Кюри  $\Theta_p = 173$  К. Величина  $\Theta_p$  является положительной, что указывает на ФМ характер обменной связи между спинами (или магнитными кластерами).

Для температур 5–200 К были измерены полевые зависимости намагниченности  $M(H)$  монокристалла LMCO; в качестве примера на рис. 3 приведена петля гистерезиса для 5 К. Насыщение  $M(H)$  достигается при  $\sim 30$  кЭ, а коэрцитивная сила  $H_c$  при низких температурах велика и составляет 10 кЭ при 5 К. Величина  $H_c$  сильно зависит от температуры и уменьшается до 130 Э для  $T = 140$  К. Отметим, что типичный ФМ характер полевых зависимостей  $M(H)$  подтверждает, что уменьшение  $M_{ZFC}$  при низких температурах (рис. 1) вызвано не ФМ–АФМ переходом, а постепенным замораживанием ФМ кластеров. Экстраполируя  $1/H$  к нулевому полю в зависимости  $M-1/H$  в больших полях, получаем маг-

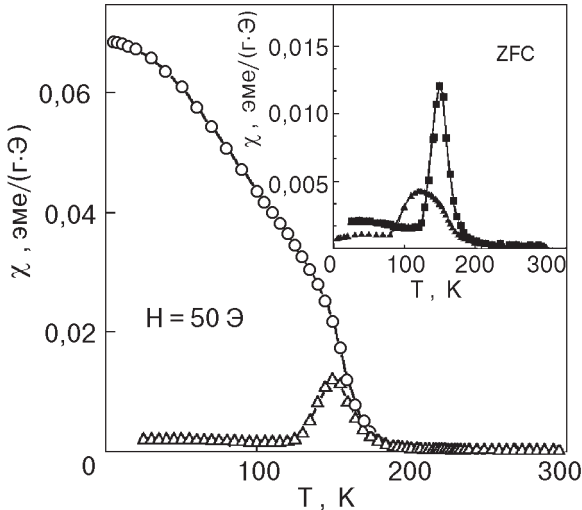


Рис. 1. Температурная зависимость восприимчивости  $\chi(T)$  монокристалла LMCO:  $\chi_{FC}$  (○) и  $\chi_{ZFC}$  (Δ); на вставке — зависимости  $\chi_{ZFC}(T)$  в поле 50 Э (■) и 1 кЭ (▲).

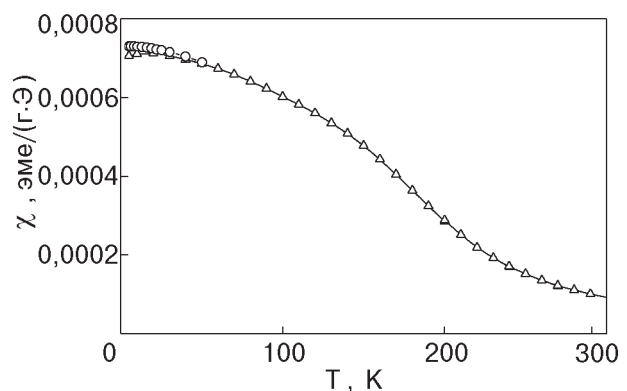


Рис. 2. Температурная зависимость  $\chi$  монокристалла LMCO в поле 50 кЭ:  $\chi_{FC}$  (○),  $\chi_{ZFC}$  (Δ); сплошная линия — аппроксимация функцией Ланжевена.

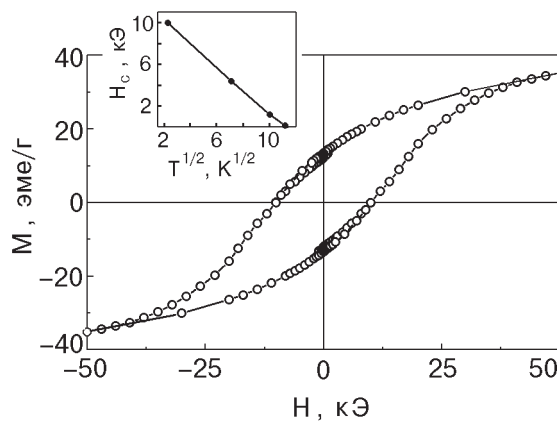


Рис. 3. Петля гистерезиса  $M(H)$  монокристалла LMCO при 5 К; вставка — зависимость коэрцитивной силы  $H_c$  от  $T^{1/2}$ ; сплошная линия — аппроксимация соотношением (2).

нитный момент насыщения  $\mu_s = 1,75 \mu_B$  на формальную единицу. Такое значение соответствует суммарному вкладу  $\text{Mn}^{4+}$  и  $\text{Co}^{2+}$ . В работе [10] показано, что в системе  $\text{LaMn}_{1-x}\text{Co}_x\text{O}_3$  при увеличении  $x$  ( $\geq 0,5$ ) величина общего магнитного момента начинает уменьшаться не только вследствие уменьшения отношения  $\text{Mn}/\text{Co}$ , но и благодаря гибридизации, вызывающей дополнительное уменьшение магнитного момента Mn и Co. Величина  $\mu_s = 1,75 \mu_B$ , полученная нами для LMCO кристалла, совпадает с теоретическим значением магнитного момента для  $x = 0,54$  [10], связанного с взаимодействием  $\text{Mn}^{4+}-\text{Co}^{2+}$  [7], обеспечивающим ФМ в кристалле LMCO.

Полученные результаты можно объяснить, привлекая модель магнитно-двухфазного состояния, которая предполагает разделение системы при достаточно низких температурах на АФ матрицу и ФМ кластеры в ней. Характер температурных зависимостей  $M_{ZFC}(T)$  и  $M_{FC}(T)$  будет зависеть от соотношения вкладов матрицы и ФМ кластеров. Для FC случая при понижении температуры ( $T < T_c$ ) спины кластеров ориентируются вдоль поля и вклад в  $M_{FC}$  будет максимальным. Для ZFC случая, когда образец охлаждается в нулевом поле, нет предпочтительной ориентации спинов в ФМ кластерах и вклад ФМ фазы в  $M_{ZFC}$  для самых низких температур будет минимальным (рис. 1). Если к кристаллу приложено небольшое магнитное поле, то намагниченность будет сильно зависеть от магнитной анизотропии системы. В случае большой анизотропии малое магнитное поле не сможет поворачивать спины в нужном направлении и  $M_{ZFC}$  будет мала. Поскольку величина коэрцитивной силы  $H_c$  обу-

словлена магнитной анизотропией АФ фазы, то для  $H < H_c$  термомагнитная необратимость между  $M_{FC}$  и  $M_{ZFC}$  при низких температурах будет велика. При увеличении магнитного поля разница между  $M_{FC}$  и  $M_{ZFC}$  уменьшается (рис. 1, 2), что характерно для присутствия в матрице ФМ кластеров [11].

Температурная зависимость намагниченности  $M(T)$ , измеренная в поле 50 кЭ (рис. 2), хорошо описывается функцией Ланжевена, и эффективный магнитный момент кластера  $\mu/\mu_B = 15$ , что соответствует общему моменту нескольких элементарных ячеек Mn. Полученные нами оценки совпадают с выводами работы [12] о существовании магнитных кластеров в кристалле.

Производная от разности между  $M_{ZFC}$  и  $M_{FC}$  по температуре  $d(M_{ZFC} - M_{FC})/dT$  характеризует распределение температур  $T_B$ , при которых по мере понижения температуры кластеры постепенно блокируются согласно их энергии магнитной анизотропии. Как видно на рис. 4, такое распределение является неоднородным и содержит два максимума — большой острый при  $T_B = 150$  К и меньший пологий при  $T_B = 100$  К.

Таким образом, при достаточно низких температурах в LMCO существуют магнитные кластеры, по крайней мере двух сортов, объемы (диаметры) которых можно оценить исходя из величины  $T_B$  кластера и кривых  $M-H$ , измеренных в больших полях. Коэрцитивная сила  $H_c$  зависит от эффективной константы магнитной анизотропии  $K$  и объема кластера  $V$  следующим образом:

$$H_c = 2K/M_s [1 - (25kT/KV)^{1/2}], \quad (1)$$

где  $M_s$  — намагниченность насыщения. При  $T \rightarrow 0$   $H_{c0} = 2K/M_s$ . Исходя из (1) и соотноше-

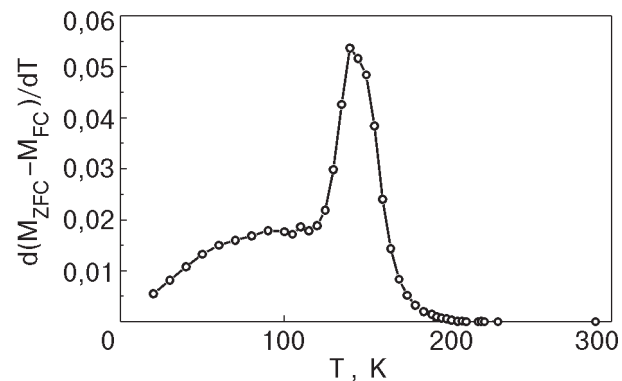


Рис. 4. Зависимость  $d(M_{ZFC} - M_{FC})/dT$  от температуры для монокристалла LMCO ( $H = 50$  Э).

ния  $25kT_B = KV$  [13] получаем следующее выражение для  $H_c$ :

$$H_c = H_{c0}(1 - T/T_B)^{1/2}. \quad (2)$$

Кластеры в LMCO подчиняются этому соотношению: экспериментальные значения  $H_c$  лежат на прямой  $H_c = f(T^{1/2})$  и величина  $H_{c0} = 1,24$  кЭ (см. рис. 3, вставка). Оценка константы анизотропии  $K$  дает величину  $1,5 \cdot 10^6$  эрг/см<sup>3</sup>, а объемы кластеров составляют  $3,5 \cdot 10^{-19}$  см<sup>3</sup> ( $T_B = 150$  К) и  $2,3 \cdot 10^{-19}$  см<sup>3</sup> ( $T_B = 100$  К), соответственно диаметры кластеров 87 и 76 Å.

### Заключение

Изучено магнитное поведение монокристалла LaMn<sub>0,46</sub>Co<sub>0,54</sub>O<sub>3</sub>, выращенного методом электрохимического осаждения, в интервале температур 4,2–300 К в полях до 50 кЭ. Полученные результаты описываются в рамках двухфазной модели магнитного состояния кристалла — присутствием ФМ кластеров в АФ матрице. Проведена оценка объема (диаметра) и температуры блокирования кластеров.

Авторы выражают благодарность Д. Д. Халявину за проведение рентгеновских измерений; П. Алешкевичу за предоставление программы Ланжевеновских функций.

Работа в г. Варшаве частично поддержана Комитетом научных исследований (KBN) в рамках гранта № 5P03B0162.

1. J. B. Goodenough, A. Wold, R. J. Arnott, and N. Menyuk, *Phys. Rev.* **124**, 373 (1961).
2. J. H. Jonker, *J. Appl. Phys.* **37**, 1424 (1966).
3. G. Blasse, *J. Phys. Chem. Solids* **26**, 1969 (1965).
4. P. A. Joy, Y. B. Khollam, and S. K. Date, *Phys. Rev.* **B62**, 8608 (2000).

5. I. O. Troyanchuk, L. S. Lobanovsky, D. D. Khalyavin, S. N. Pastushonok, and H. Szymczak, *J. Magn. Magn. Mater.* **210**, 63 (2000).
6. V. L. J. Joly, P. A. Joy, and S. K. Date, *J. Phys.: Condens. Matter* **13**, L841 (2001).
7. J.-H. Park, S.-W. Cheong, and T. C. Chen, *Phys. Rev.* **B55**, 11072 (1997).
8. V. L. J. Joly, P. A. Joy, S. K. Date, and C. S. Gopinath, *J. Phys.: Condens. Matter* **13**, 649 (2001).
9. D. D. Khalyavin, S. V. Shiryaev, G. L. Bychkov, S. N. Barilo, S. N. Ustinovich, L. A. Kurochkin, and H. Szymczak, *Proc. 4th Inter. Conf. SCG and HMT*, Obninsk (2001), v. 2, p. 372.
10. Zh. Yang, L. Ye, and X. Xie, *Phys. Rev.* **B59**, 7051 (1999).
11. L. Chivelder, L. A. Castillo, M. A. Gusmao, J. A. Alonso, and L. F. Coen, *Phys. Rev.* **B60**, 12184 (1999).
12. J. Z. Sun, L. Krusin-Elbaum, A. Gupta, G. Xiao, and S. S. P. Parkin, *Appl. Phys. Lett.* **69**, 1002 (1996).
13. C. P. Bean and J. D. Livingstone, *J. Appl. Phys.* **30**, 120 (1959).

### Magnetic properties of the LaMn<sub>0,46</sub>Co<sub>0,54</sub>O<sub>3</sub> single crystal

S. N. Barilo, V. I. Gatalskaya, S. V. Shiryaev, L. A. Kurochkin, R. Szymczak, and M. Baran

The magnetic properties of the LaMn<sub>0,46</sub>Co<sub>0,54</sub>O<sub>3</sub> single crystal grown by the electrodeposition method are studied in wide ranges of temperatures and fields. The results obtained are analysed using the two-phase magnetic state of the crystal.